

Модификации метода анализа сингулярного спектра для анализа временных рядов: Circulant SSA и Generalized SSA

Погребников Н. В., гр. 21.Б04-мм

Санкт-Петербургский государственный университет
Прикладная математика и информатика
Вычислительная стохастика и статистические модели

Научный руководитель: д. ф.-м. н., доц. Голяндина Н. Э.

Санкт-Петербург, 2025

Пусть $X = (x_1, \dots, x_N)$ – временной ряд длины N , $x_i \in \mathbb{R}$ – наблюдение в момент времени i .

$X = X_{\text{Trend}} + X_{\text{Periodics}} + X_{\text{Noise}}$, где:

- X_{Trend} – тренд, медленно меняющаяся компонента;
- $X_{\text{Periodics}}$ – сумма периодических компонент;
- X_{Noise} – шум, случайная составляющая.

Методы: **SSA** – метод, позволяющий раскладывать временной ряда в сумму интерпретируемых компонент (Golyandina, Nekrutkin и Zhigljavsky 2001); **GSSA** – модификация **SSA** на основе добавления весов (Gu и др. 2024); **CiSSA** – модификация **CiSSA** на основе циркулярной матрицы (Bogalo, Poncela и Senra 2020).

Задача: Описание модификаций в контексте теории **SSA**, сравнение алгоритмов, реализация их на языке R.

По чему будем сравнивать?

TODO Оформить слайд

Нужно определиться с тем, по каким критериям будем сравнивать методы?

- Постановка задачи (для CiSSA она другая, решаем только с заранее заданными частотами)
- Выделение сигнала
- Разделимость

Определение 1

Есть метод разделения ряда на компоненты с параметрами Θ , ряд $X = X^{(1)} + X^{(2)}$. \exists набор параметров $\hat{\Theta}$, L , N , что при разделении ряда на компоненты этим методом, $\hat{X}^{(1)}$ является оценкой $X^{(1)}$, при этом, $\text{MSE}(X^{(1)}, \hat{X}^{(1)}) = 0$. Тогда ряды $X^{(1)}$ и $X^{(2)}$ точно разделимы данным методом.

Определение 2

Есть метод разделения ряда на компоненты с параметрами Θ , ряд $X = X^{(1)} + X^{(2)}$. \exists набор параметров $\hat{\Theta}$ и $L = L(N)$, $N \rightarrow \infty$, что при разделении ряда на компоненты этим методом, $\hat{X}^{(1)}$ является оценкой $X^{(1)}$, при этом, $\text{MSE}(X^{(1)}, \hat{X}^{(1)}) \rightarrow 0$. Тогда ряды $X^{(1)}$ и $X^{(2)}$ называются асимптотически $L(N)$ -разделимыми данным методом.

$\mathbf{X} = (x_1, \dots, x_N)$ — временной ряд. $1 < L < N$ — длина окна.

Алгоритм SSA:

- 1 Построение траекторной матрицы:

$$\mathbf{X} = \mathcal{H}(\mathbf{X}) = [\mathbf{X}_1 : \dots : \mathbf{X}_K], \mathbf{X}_i = (x_i, \dots, x_{i+L-1})^T, \\ 1 \leq i \leq K, \quad K = N - L + 1.$$

- 2 Сингулярное разложение (SVD) траекторной матрицы:

$$\mathbf{X} = \sum_{i=1}^d \sqrt{\lambda_i} U_i V_i^T = \sum_{i=1}^d \mathbf{X}_i, \quad d = \text{rank}(\mathbf{X}).$$

\mathbf{X}_i — элементарные матрицы ранга 1.

$(\sqrt{\lambda_i}, U_i, V_i^T)$ — i -ая собственная тройка.

- 3 Группировка индексов $1, \dots, d$ на m непересекающихся подмножеств I_1, \dots, I_m , $I_k = \{i_1^{(k)}, \dots, i_{p_k}^{(k)}\}$.

$$\mathbf{X}_{I_k} = \mathbf{X}_{i_1^{(k)}} + \dots + \mathbf{X}_{i_{p_k}^{(k)}}. \quad \mathbf{X} = \mathbf{X}_{I_1} + \dots + \mathbf{X}_{I_m}.$$

- 4 Восстановление: $\tilde{\mathbf{X}}_{I_k} = \mathcal{H}^{-1}(\mathbf{X}_{I_k})$, $\tilde{\mathbf{X}} = \tilde{\mathbf{X}}_{I_1} + \dots + \tilde{\mathbf{X}}_{I_m}$.

TODO Указать, что такое вложенный вариант, сказать, что таким образом улучшается разделимость. Так получается лучше разделять компоненты между собой

Замечание 1

Для **SSA** существуют алгоритмы улучшения разделимости, например, EOSSA и FOSSA (Golyandina, Dudnik и Shlemov 2023). По заданному набору компонент, они позволяют более точно отделять компоненты.

$X = (x_1, \dots, x_N)$ — временной ряд, параметры L и $\alpha \geq 0$.

$$w^{(a)} = (w_1, w_2, \dots, w_L) = \left(\left| \sin \left(\frac{\pi n}{L+1} \right) \right| \right)^\alpha, \quad n = 1, 2, \dots, L.$$

Шаг 1 алгоритма GSSA:

$$X^{(\alpha)} = \mathcal{H}^{(\alpha)}(X) = [X_1^\alpha : \dots : X_K^\alpha],$$

$$X_i^{(\alpha)} = (w_1 x_{i-1}, \dots, w_L x_{i+L-2})^T, \quad 1 \leq i \leq K.$$

Шаги 2-4: аналогичны **SSA**.

Замечание 2

При $\alpha = 0$, **GSSA** — в точности базовый алгоритм **SSA**.

Определение 3

Пусть $X = (\dots, x_{-1}, x_0, x_1, \dots)$ — бесконечный временной ряд. **Линейный конечный фильтр** — оператор Φ , преобразующий X в $X' = (\dots, y_{-1}, y_0, y_1, \dots)$ по правилу:

$$y_j = \sum_{i=-r_1}^{r_2} h_i x_{j-i}, \quad j \in \mathbb{Z},$$

где $r_1, r_2 \in \mathbb{N}$ — ширина фильтра, $h_i \in \mathbb{R}$ — коэффициенты.

Пример. При применении фильтра Φ на $X_{\cos} = \cos 2\pi\omega n$, получается ряд $y_j = A_{\Phi}(\omega) \cos(2\pi\omega j + \phi_{\Phi}(\omega))$.

$\phi_{\Phi}(\omega)$ — фазово-частотная характеристика (ФЧХ).

$A_{\Phi}(\omega)$ — амплитудно-частотная характеристика (АЧХ).

Сравнение SSA и GSSA. Линейные фильтры 2

$X = (x_1, \dots, x_N)$, $(\sqrt{\lambda}, U, V)$ – собственная тройка **SSA**.

$U = (u_1, \dots, u_L)$. $\tilde{X} = \mathcal{H}^{-1}(\sqrt{\lambda}UV^T)$.

Запись SSA через линейный фильтр:

$$\tilde{x}_s = \sum_{j=-(L-1)}^{L-1} \left(\sum_{k=1}^{L-|j|} u_k u_{k+|j|} / L \right) x_{s-j}, \quad L \leq s \leq K.$$

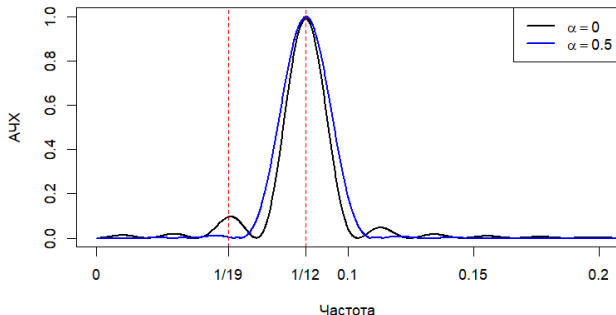
Аналогичное представление для GSSA:

$$\tilde{x}_s = \sum_{j=-(L-1)}^{L-1} \left(\sum_{k=1}^{L-|j|} u_k^{(\alpha)} u_{k+|j|}^{(\alpha)} w_k / \sum_{i=1}^L w_i \right) x_{s-j}, \quad L \leq s \leq K.$$

Сравнение SSA и GSSA. Пример

$$X = X_{\sin} + X_{\cos} = \sin\left(\frac{2\pi}{12}n\right) + \frac{1}{2} \cos\left(\frac{2\pi}{19}n\right). \quad N = 96 \cdot 2 - 1, \quad L = 48.$$

АЧХ для суммы фильтров собственных троек синуса



При $\alpha = 0.5$ АЧХ без волн, но с широкой областью около частоты синуса, что ухудшает отделение от шума, но улучшает разделение компонентов.

Сравнение SSA и GSSA. Пример, продолжение

Таблица 1: MSE разложений $X = X_{\sin} + X_{\cos}$

Метод/Ошибка	X_{\sin}	X_{\cos}	X
SSA	5.15e-03	5.15e-03	6.01e-30
GSSA, $\alpha = 0.5$	3.68e-04	3.68e-04	9.53e-30

Без шума **GSSA** выдает результаты на порядок лучше **SSA**.

Таблица 2: MSE разложений $X = X_{\sin} + X_{\cos} + \varepsilon_n$, $\varepsilon_n \sim N(0, 0.1^2)$

Метод	X_{\sin}	X_{\cos}	X
SSA	5.68e-03	5.44e-03	7.48e-04
GSSA, $\alpha = 0.5$	1.21e-03	1.25e-03	1.04e-03

С шумом выигрыш на порядок у **GSSA** пропал, но теперь **SSA** выделил сигнал на порядок лучше.

Сравнение SSA и GSSA. Выводы

Можно объединить преимущества обоих алгоритмов, выделив сигнал с помощью **SSA**, а затем разделив компоненты друг от друга благодаря **GSSA**:

Метод	X_{\sin}	X_{\cos}	X
SSA + GSSA , $\alpha = 0.5$	1.06e-03	1.12e-03	7.15e-04

Получились наилучшие результаты.

TODO Дописать, что получился вложенный вариант алгоритма.

Метод CiSSA. Алгоритм

$\mathbf{X} = (x_1, \dots, x_N)$ — временной ряд. $1 < L < N$ — длина окна.

Алгоритм SSA:

❶ Построение траекторной матрицы: как в SSA.

❷ $l = 1 : L$,

$$U_l = L^{-1/2}(u_{l,1}, \dots, u_{l,L}), \quad u_{l,j} = \exp\left(-i2\pi(j-1)\frac{l-1}{L}\right).$$

Элементарное разложение: $w_k = \frac{k-1}{L}$, $k = 1 : \lfloor \frac{L+1}{2} \rfloor$

$$\mathbf{X}_{w_k} = U_k U_k^H \mathbf{X} + U_{L+2-k} U_{L+2-k}^H \mathbf{X};$$

$$\mathbf{X}_{w_{\frac{L}{2}+1}} = U_{\frac{L}{2}+1} U_{\frac{L}{2}+1}^H \mathbf{X}, \text{ если } L \bmod 2 = 0,$$

Разложение: $\mathbf{X} = \sum_{k=1}^d \mathbf{X}_{B_k}$, $d = \lfloor \frac{L+1}{2} \rfloor$ (или $\frac{L}{2} + 1$).

❸ Группировка по частотам $w_k \in [0, 0.5]$ на непересекающиеся диапазоны $I_i = [w_{i0}, w_{i1}]$.

❹ Диагональное усреднение: как в SSA.

Модификации метода SSA

└ Метод CiSSA. Алгоритм

TODO переписать третий шаг

Метод CiSSA. Алгоритм

$X = (x_1, \dots, x_N) \rightarrow$ векторный ряд, $1 \leq L \leq N$ — длина окна.
Алгоритм SSA:

❖ Построение траекторной матрицы: см. в SSA.

❖ $l = 1 : L$

$$U_l = L^{-1/2} (u_{l,1}, \dots, u_{l,L}), u_{l,j} = \exp(-i2\pi(j-1)\frac{l-1}{L-1})$$

Элементарное разложение: $u_k = \frac{1}{\sqrt{L-1}}, k = 1 : \lfloor \frac{L-1}{2} \rfloor$

$$X_{u_k} = U_k U_k^H X + U_{L+2-k} U_{L+2-k}^H X;$$

$$X_{u_{\frac{L-1}{2}+1}} = U_{\frac{L-1}{2}+1} U_{\frac{L-1}{2}+1}^H X, \text{ если } L \bmod 2 = 0,$$

Разложение: $X = \sum_{k=1}^d X_{u_k}, d = \lfloor \frac{L-1}{2} \rfloor$ (если $\frac{L}{2} + 1$).

❖ Группировка по частоте и $u_k \in [0, 0.5]$ — их можно считать делителями $L = [u_{k0}, u_{k1}]$.

❖ Диагональное усреднение: см. в SSA.

Замечания:

- В отличие от **SSA**, базис подпространства которого зависит от X, L, N (адаптивный), базис в **CiSSA** зависит только от L, N (фиксированный).
- Поскольку группировка производится по частотам, а частоты зависят от L , то алгоритм применим только в случае, когда заранее известны интересующие частоты.

Определение 4

Разложение

$$x_n = c_0 + \sum_{k=1}^{\lfloor \frac{N+1}{2} \rfloor} (c_k \cos(2\pi nk/N) + s_k \sin(2\pi nk/N)), \quad (1)$$

где $1 \leq n \leq N$ и $s_{N/2} = 0$ для четного N , называется разложением Фурье ряда X .

Замечание 3

В разложении Фурье производится проекция всего ряда на пространства, порожденные синусами и косинусами. В **CiSSA** производится разложение Фурье для K векторов матрицы X . Затем соответствующие элементы усредняются.

Модификации метода SSA

└ Метод CiSSA. Свойства: связь с разложением Фурье

TODO Переписать замечание (частично сделано)

Метод CiSSA. Свойства: связь с разложением Фурье

Замечание 4

Разложение

$$x_n = a_0 + \sum_{k=1}^{\lfloor N/2 \rfloor} (a_k \cos(2\pi nk/N) + b_k \sin(2\pi nk/N)), \quad |k|$$

для $1 \leq n \leq N$ и $a_{N/2} = 0$ для четного N , и имеет разложение Фурье ряда X .

Замечание 3

В разложении Фурье произойдет пропуск его ряда на промежутке, порождая синус или косинусов. В CiSSA производится разложение Фурье для X в вектора на промежутке X . Эти вектора являются элементами упорядоченного.

Метод CiSSA. Свойства: нестационарный ряд

В работе (Bogalo, Poncela и Senra 2020) предложена модификация, улучшающая результат выделения тренда, но ухудшающая разделение периодических компонент:

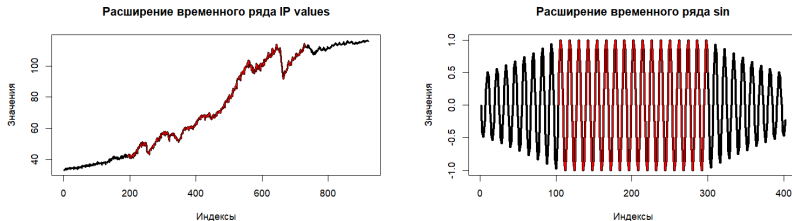


Рис. 1: Красный – настоящий ряд, черный – его расширение

Таким образом, можно использовать алгоритм на нестационарных рядах.

Модификации метода SSA

└ Метод CiSSA. Свойства: нестационарный ряд

Метод CiSSA. Свойства: нестационарный ряд

В работе [Borja, Pineda y Sosa 2021] предложено модифицировать метод SSA, чтобы выделить нестационарные компоненты из стационарных рядов.

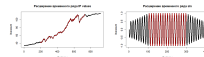


Рис. 1: Красный — нестационарный ряд, черный — его расширение

Таким образом, можно использовать алгоритм на нестационарных рядах.

TODO Написать алгоритм расширения ряда в конце как приложение в конце. сказать, что изначально алгоритм пригоден только для стационарных рядов.

Фиксируем временной ряд $X = X_1 + X_2 =$
 $= A_1 \cos(2\pi w_1 n + \varphi_1) + A_2 \cos(2\pi w_2 n + \varphi_2).$

Условия точной разделимости X для разложения Фурье:
 $Nw_1, Nw_2 \in \mathbb{N}, w_1 \neq w_2.$

Условия точной разделимости X для **CiSSA**:
 $Lw_1, Lw_2 \in \mathbb{N}, w_1 \neq w_2.$

Условия точной разделимости X для **SSA**:
 $Lw_1, Lw_2, Kw_1, Kw_2 \in \mathbb{N}, w_1 \neq w_2, A_1 \neq A_2.$

Таким образом, условия на разделение косинусов, слабее у методов **CiSSA** и Фурье, чем у **SSA**.

TODO Пример, когда известны частоты, попадаем / не попадаем в решетку.

Метод	sin_err	cos_err	all_err
SSA, Lw, Kw in N	6.8e-30	1.5e-29	1.8e-29
SSA EOSSA, Lw, Kw in N	8.2e-30	6.5e-30	5.5e-30
Fourier, Nw in N	3.4e-28	9.8e-29	4.0e-28
Fourier extended, Nw in N	8.4e-07	1.4e-06	5.9e-07
CiSSA, Lw in N	1.1e-29	6.5e-30	7.8e-30
CiSSA extended, Lw in N	1.6e-06	5.5e-06	3.7e-06
SSA, Lw, Kw in N $a_1 = a_2$	3.8e-04	3.8e-04	6.0e-29
SSA EOSSA, Lw, Kw in N, $a_1 = a_2$	1.4e-29	2.9e-29	1.1e-29

Таблица 3: $a_1 * \sin + a_2 * \cos$

Сравнение SSA, Фурье, CiSSA. Асимптотическая делимость

Асимптотически делимы в методе **SSA** полиномы, гармонические функции (Golyandina, Nekrutkin и Zhigljavsky 2001).

В алгоритме разложения **CiSSA** (Фурье) увеличение длины окна $L(N)$ изменяет сетку частот. Это означает, что даже если не удастся подобрать такое $L(N)$, при котором косинус будет точно отделим, его постепенное увеличение позволит приблизить частоты сетки к частоте компоненты. В итоге, можно снизить ошибку выделения нужной компоненты, учитывая соседние частоты.

Модификации метода SSA

└ Сравнение SSA, Фурье, CiSSA.
Асимптотическая разделимость

Сравнение SSA, Фурье, CiSSA. Асимптотическая разделимость

Асимптотически разделимы в методе SSA полиномы, порождающие функции (Gibson et al., Katsalis & ZhiJianYu 2018).
В алгоритме разделилки CiSSA (Фурье) увеличение длины окна L $[N]$ не имеет сетки частот. Это означает, что даже если не удастся подобрать такую L $[N]$, при котором каждый будет точно отделен, то постепенно увеличение L позволит приблизить частоты к сетке частоты-компоненты. В итоге, можно сказать о шаблону и даже не нужной компоненте, учитывая соседние частоты.

TODO Переформулировать с меньшим количеством слов

TODO Пример, когда условия нарушаются (добавление тренда).

Метод	exp_err	sin_err	cos_err	all_err
SSA, Lw, Kw in N	6.1e-05	5.2e-05	8.9e-07	2.9e-28
SSA EOSSA, Lw, Kw in N	3.3e-28	7.3e-30	2.0e-29	3.2e-28
Fourier, Nw in N	1.1e-01	2.1e-02	1.7e-02	7.8e-02
Fourier extended, Nw in N	1.4e-03	1.8e-03	2.2e-04	1.0e-03
CiSSA, Lw in N	5.3e-02	4.9e-04	3.3e-03	2.8e-02
CiSSA extended, Lw in N	5.0e-04	1.1e-03	6.9e-05	4.3e-04
SSA, Lw, Kw in N, $a_1 = a_2$	6.1e-05	1.0e-02	9.9e-03	4.4e-28
SSA EOSSA, Lw, Kw in N, $a_1 = a_2$	5.1e-28	1.6e-29	6.6e-29	4.9e-28

Таблица 4: $1 + \exp(x/100) + a_1 * \sin + a_2 * \cos$

TODO Пример, когда шум.

Метод	sin_err	cos_err	all_err
SSA, Lw, Kw in N	2.4e-04	3.0e-04	5.4e-04
SSA EOSSA, Lw, Kw in N	2.4e-04	3.0e-04	5.4e-04
Fourier, Nw in N	1.4e-04	2.1e-04	3.5e-04
Fourier extended, Nw in N	3.1e-03	1.3e-03	4.4e-03
CiSSA, Lw in N	1.5e-04	2.7e-04	4.1e-04
CiSSA extended, Lw in N	1.9e-03	3.6e-04	2.3e-03

Таблица 5: $a_1 * \sin + a_2 * \cos + \text{noise}$

Метод	exp_err	sin_err	cos_err	all_err
SSA, Lw, Kw in N	2.9e-04	2.4e-04	4.3e-04	7.1e-04
SSA EOSSA, Lw, Kw in N	9.7e-04	1.7e-04	4.2e-04	1.6e-03
Fourier, Nw in N	1.1e-01	5.2e-03	1.2e-04	1.0e-01
Fourier extended, Nw in N	7.1e-03	9.5e-03	2.0e-03	7.5e-03
CiSSA, Lw in N	5.5e-02	5.6e-04	3.0e-04	4.8e-02
CiSSA extended, Lw in N	2.8e-03	1.5e-03	2.8e-04	2.5e-03

Сравнение SSA, Фурье, CiSSA. Выводы 1

Метод/Условие	cos, $Lw \in \mathbb{N},$ $Kw \in \mathbb{N}$	cos, $Lw \in \mathbb{N},$ $Kw \notin \mathbb{N}$	cos, $Lw \notin \mathbb{N},$ $Kw \notin \mathbb{N}$	X_{np1}	X_{np}	group
SSA	+	→	→	→	→	—
SSA EOSSA	+	→	→	→	→	+
CiSSA	+	+	→	—	—	+
CiSSA extended	+	+	→	→	—	+

Таблица 7: Преимущества и недостатки методов **SSA, CiSSA**

Метод/Условие	cos, $Nw \in \mathbb{N}$	cos, $Nw \notin \mathbb{N}$	X_{np1}	X_{np}	group
Fourier	+	→	—	—	+
Fourier extended	+	→	→	—	+

Таблица 8: Преимущества и недостатки методов Fourier

По полученным результатам, можно следующие выводы:

- ❶ **CiSSA** и разложение Фурье работает лучше базового **SSA** только в том случае, когда периодики имеют одинаковые амплитуды. При этом, **SSA** с EOSSA исправляет этот недостаток. Во всех остальных случаях **CiSSA** и разложение Фурье показывают результаты не лучше **SSA**.
- ❷ Если и использовать алгоритм **CiSSA**, то как вложенный вариант, предварительно выделив трендовую составляющую, шум, и внутри разделять компоненты.

Модификации метода SSA

└ Сравнение SSA, Фурье, CiSSA. Выводы 2

TODO Переписать выводы в соответствии с примерами.

По полученным результатам, можно следующие выводы:

- ❖ **CiSSA** в большинстве случаев работает лучше базового SSA только в том случае, когда не удается выявить одинаковые амплитуды. При этом, SSA с EO SSA использует эту информацию. Во всех остальных случаях CiSSA и разложение Фурье показывают результаты не лучше SSA.
- ❖ Если использовать алгоритм CiSSA, то не только каждый канал, представляющий отдельные гармонические составляющие, шум, а и шум разложить по частотам.



Bogalo, Juan, Pilar Poncela и Eva Senra (2020). «Circulant singular spectrum analysis: A new automated procedure for signal extraction». В: *Signal Processing* 177. ISSN: 0165-1684. DOI: 10.1016/j.sigpro.2020.107750. URL: <http://www.sciencedirect.com/science/article/pii/S0165168420303264>.



Golyandina, Nina, Pavel Dudnik и Alex Shlemov (2023). «Intelligent Identification of Trend Components in Singular Spectrum Analysis». В: *Algorithms* 16.7, с. 353. DOI: 10.3390/a16070353. URL: <https://doi.org/10.3390/a16070353>.

Список литературы II



Golyandina, Nina, Vladimir Nekrutkin и Anatoly Zhigljavsky (2001). *Analysis of Time Series Structure: SSA and Related Techniques*. Chapman и Hall/CRC. URL: https://www.academia.edu/34626051/Analysis_of_Time_Series_Structure_-_SSA_and_Related_Techniques.



Gu, Jialiang и др. (2024). «Generalized singular spectrum analysis for the decomposition and analysis of non-stationary signals». В: *Journal of the Franklin Institute Accepted/In Press*. ISSN: 0016-0032. DOI: 10.1016/j.jfranklin.2024.106696. URL: <https://doi.org/10.1016/j.jfranklin.2024.106696>.